

100nm 이하 CMOS 소자의 Source/Drain dopant 종류에 따른 Nickel silicide의 특성분석

배미숙, 김용구, 지희환, 이현진, 오순영, 윤장근, 박성형*, 왕진석, 이희덕
충남대학교 전자공학과, (주) 하이닉스 반도체 System IC Logic 소자 개발팀*

Analysis of Dopant dependence in Ni-Silicide for Sub-100 nm CMOS Technology

Mi-Suk Bae, Yong-Goo Kim, Hee-Hwan Ji, Hun-Jin Lee, Soon-Young Oh, Jang-Gn Yun,
Sung-Hyung Park*, Jin Suk Wang, and Hi-Deok Lee
Dept. of Electronics Engineering, Chungnam National University,
Hynix semiconductor Inc. System IC R&D Division*

Abstract

In this paper, the dependence of Ni-silicide properties such as sheet resistance and cross-sectional profile on the dopants have been characterized. There was little dependence of sheet resistance on the used dopants such as As, P, BF₂ and B₁₁ just after RTP (Rapid Thermal Process). However, the silicide properties showed strong dependence on the dopants when thermal treatment was applied after formation of Ni-silicide. BF₂ implanted sample shows the best stable property, while B₁₁ implanted one was thermally unstable. The main reason of the excellent property of BF₂ sample is believed to be the retardation of Ni diffusion by the flourine.

Key Words : BF₂, B₁₁, Ni diffusion, Ni silicide

1. 서 론

Silicide는 낮은 비저항과 낮은 일함수로 접촉저항을 줄이는데 효과적인 재료로 널리 사용되고 있으며 [1] 최근에는 차세대 반도체, ULSI process에 적합한 실리사이드로 니켈 실리사이드가 새롭게 제안되어 연구되어지고 있다. Ni-silicide는 한번의 열처리 과정만으로도 14 $\mu\Omega\text{cm}$ 의 낮은 비저항을 갖는 nickel mono-silicide (NiSi)를 얻을 수 있고, 형성된 NiSi는 0.1 μm feature size를 갖는 좁은 폭의 poly silicon gate 위에서도 비저항 증가가 거의 없는 것으로 알려져 있다[2]. 또한 NiSi는 열처리 시 사용되는 질소와 반응을 하지 않을 뿐만 아니라 증착된 대부분의 Ni film은 Si과 반응하여 NiSi를 형성하기 때문에 반응 시 소비되는 Si의 양을 정확히 조절할 수가 있다. 더욱이 일정두께의 NiSi를 형성시키는데 소비되는 Si의 양이 다른 silicide, 특히 CoSi₂ 보다

훨씬 적다는[3] 매우 큰 장점을 가지고 있기 때문에 ultra-thin junction이 필요한 deep sub-micron integrated circuit에 매우 적합한 silicide라고 말할 수 있다.

이러한 NiSi가 실제 CMOS에 적용되기 위해서는 ULSI에 사용되는 불순물이 도핑되어 있는 시편에 대해서 silicide 특성을 보고 그에 따른 분석을 하는 것은 필수적이라고 여겨진다. PMOS인 경우에는 Source/Drain에 BF₂ 와 B₁₁이 많이 사용되고 있는데, 각각에 대한 Ni-Silicide의 의존성을 파악하여 어느 Dopant가 바람직한지 분석하는 것이 매우 필요하다고 여겨진다.

본 논문에서는 Source/Drain에 BF₂ 또는 B₁₁이 주입된 경우에 대하여 Ni-silicide의 특성 분석을 실시하여 실제 CMOS 기술에 적용되었을 때 발생할 수 있는 현상들을 분석하고 문제점을 제시하고자 한다.

2. 본 론

2.1 실험

P-type 불순물이 silicide에 미치는 영향을 관찰하기 위해 BF_2 (20KeV, 4×10^{15}), B_{11} (10KeV, 4×10^{15})이 주입된 시편을 전기로를 이용하여 850°C에서 30분간 활성화시키고 Ion Beam Sputter를 이용하여 base pressure 10^{-7} Torr에서 니켈 200Å을 증착하였다. 그리고 NiSi를 형성시키기 위해 급속 열처리(Rapid Thermal Processing)로 3×10^{-2} torr에서 온도를 400°C에서 750°C까지 변화시키면서 30초간 급속 열처리하였다. 반응하지 않은 nickel을 제거하기 위해 에칭을 하고 silicide의 면저항을 측정하였다. 열안정성을 보기 위해서 500°C에서 30초간 RTP를 실시한 후 Furnace 600, 700, 800 °C에서 각각 30분간 열처리를 하였다. 면저항은 Four-Point-Probe를 사용하여 측정하였다. 편의상 본 논문에서는 실리사이드 형성 시 열처리를 '급속 열처리(RTP)'라 하고 열안정성 실험에 대해서는 '열처리'라고 하겠다. 비교를 하기 위해 불순물이 없는 시편에 대해서도 같은 실험을 반복하였다. silicide phase를 보기 위해 X선 회절분석기(X-Ray Diffractometer : 기초과학지원연구소 대구분소, 모델명 X'PERT)를 이용하여 성분을 분석하였으며, 투과전자현미경(Transmission Electron Microscope)과 FESEM(Field Emmission Scanning Electron Microscope, 기초과학지원연구소 전주분소, 모델명 S-4700)으로 형성된 Silicide의 두께와 형태를 관찰하였다.

2.2 Silicide의 불순물에 대한 영향

Ni 200Å을 증착한 시편에 대해서 400°C~750°C를 50°C 간격으로 나누어 RTP를 실시한 후 면저항을 측정하였다. 그림 1을 보면 700°C까지는 낮은 비저항을 갖는 NiSi가 안정적으로 형성되었고 750°C에서는 높은 비저항을 갖는 NiSi_2 ($35\sim50 \mu\Omega\text{cm}$)로 변이가 되기 시작함을 예측할 수 있으며 이를 그림 2와 같이 X선 회절 분석으로 확인하였다. 하지만 750도에서 disilicide의 양이 아주 소량으로 XRD peak가 관찰되지는 않았다.

우선 면저항을 비교해보면 BF_2 는 B_{11} 에 비해 대체로 높은 저항을 나타내지만 750도까지 안정적인 것을 알 수 있다. B_{11} 은 750도에서 저항 증가폭이 커지고 있어 두 dopant의 차이가 두드러지게 나타났다. 따라서 flourine이 있는 dopant는 disilicide의 변화를 억제시키는 것으로 예측되어진다. Nickel은 모두 같

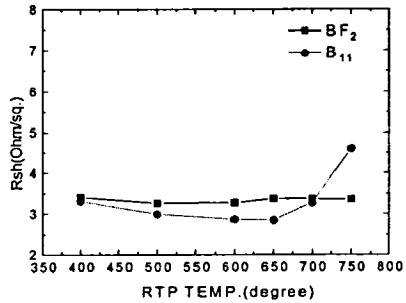


그림 1. RTP 온도에 따른 실리사이드 면저항의 특성

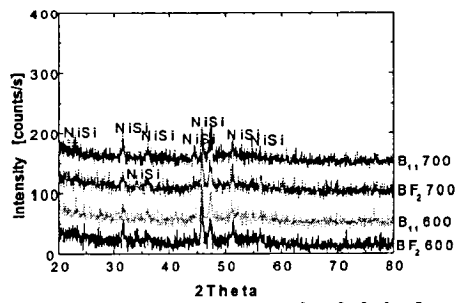


그림 2. RTP 500, 750 °C, 30초간 실시한 후 XRD Spectra 분석

은 조건에서 증착하였고 a-step으로 측정한 결과 두께가 200Å임을 확인하였으므로 이는 오로지 불순물만의 영향임을 알 수 있다. 그러므로 flourine이 있는 dopant는 disilicide의 변화를 억제시키는 것으로 예측되어진다. Nickel은 모두 같은 조건에서 증착하였고 a-step으로 측정한 결과 두께가 200Å임을 확인하였으므로 이는 오로지 불순물만의 영향임을 알 수 있다. RTP 후 Fluorine이 Silicide/Silicon 계면에 존재하게 되어 확산 방해로 Silicide 형성을 억제[4]함으로 인해 Silicide의 두께가 얕게 형성되고 면저항이 다소 커진 것으로 추측할 수 있다 SEM 단면 사진으로 silicide의 두께를 확인해본 결과 그림 3에서와 같이 BF_2 보다 B_{11} 가 더 두꺼웠다. 또한 500 °C에서 Silicide 형성 후 Silicide/Silicon 계면의 형태는 불순물의 종류에 관계없이 일정함을 그림 3에서 단면 사진으로 확인하였다.

Ni의 확산 정도를 보기 위해 그림 4에서와 같이 XPS로 깊이에 따른 성분 분석을 하였다. 그림 4를 보면 500도 30초 RTP후 Ni와 Si가 거의 1:1 성분비를 하고 있으며 BF_2 와 B_{11} 비슷한 profile을 갖고 있다. 성분비로 보아 mono silicide를 형성하고 있음을 추측할 수 있으며 그림 2의 XRD 데이터와 일치함을 알 수 있다.

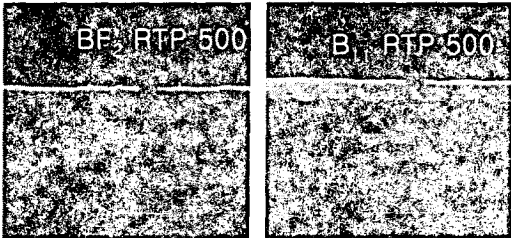


그림 3. 500도 30초 RTP 후 각 sample의 단면
FESEM사진

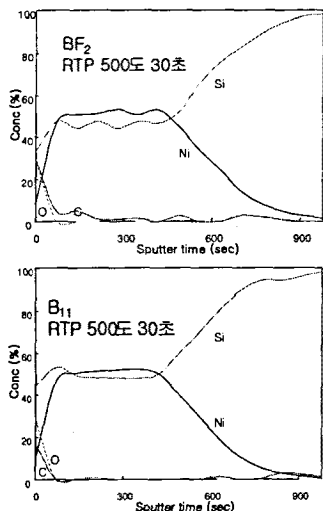


그림 4. 500동 30초 RTP후 Silicide의 XPS 성분 분석

2.3 불순물에 따른 Silicide의 열안정성

Ni silicide의 단점 중 가장 큰 것은 후속공정의 높은 온도에서 열적으로 불안정하다는 것이다. 이를 개선하기 위해서 Ti, TiN, SiO₂ 등의 capping layer를 적용하기도 하며 다른 방법으로 N₂를 주입을 하기도 하였다[2][5]. 하지만 본 논문에서는 다른 처리를 하지 않고 Ni만 증착하였을 때 dopant의 영향에 대해서 실험하였다. 500 °C에서 30초간 급속열처리한 시편을 600°C, 700°C, 800°C에서 각각 30분간 열처리한 후 면저항을 측정하였는데 RTP만 한 경우는 그림 1과 같이 별로 차이가 없었지만 열안정성은 그림 5에서와 같이 불순물의 종류에 따라 큰 차이를 보이고 있다.

열안정성이 가장 좋은 것은 BF₂ 700도 30분까지는 안정적임을 확인하였다. 600도 열처리에서 모든 sample은 면저항의 변화는 거의 없었으며 그림 6과

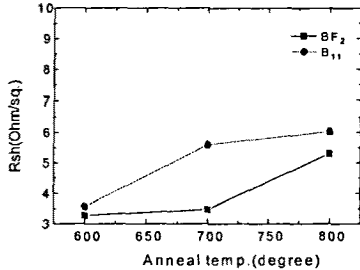


그림 5. Annealing 온도에 따른 면저항 특성

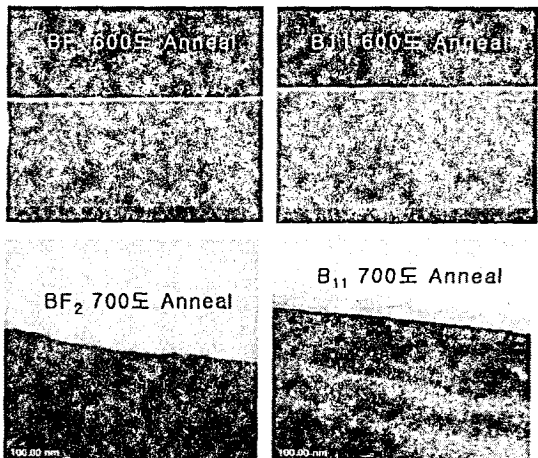


그림 6. 600,700도 30분 annealing후 silicide/silicon
의 단면사진

같이 단면 profile 을 분석한 결과 계면상태도 열화되지 않았음을 확인하였다. 700도에서 열화되기 시작한 B₁₁을 살펴보면 Silicide/silicon 계면이 크게 저하되지는 않았지만 BF₂에 비해 Silicide가 더 두껍다. 앞에서도 언급했듯이 Flourine은 Silicidation을 억제시킨다는 것을 다시 확인하였다.

열화가 심한 경우에는 응집이 발생하고 계면 상태가 저하되는데 이런 현상은 접촉면적을 증가시키고 얇아진 Silicide부분의 전류밀도가 증가하여 심한 누설전류를 발생시키게 된다 [6]. p-type으로 BF₂가 주입된 경우에는 fluorine이 Ni의 확산을 방해하므로 열안정성 면에서는 B₁₁에 비해 매우 안정한 것으로 나타났다. 700도 30분까지는 면저항도 안정적이고 agglomeration도 일어나지 않았다. 그림 7을 보면 700도에서 30분간 Annealing후 XRD 분석결과 여전히 NiSi₂ peak는 관찰되지 않았다. 700도에서 disilicide로 변이하는 양은 아주 소량으로 관찰되지

않는 것으로 생각된다. Annealing 후 실제 Ni가 어느 정도 확산해 들어갔는지를 살펴보기 위해 XPS로 depth profile을 분석하였다. 그림 7을 보면 BF_2 가 $\text{Ni}:Si=1:1$ 로 Ni의 확산이 가장 느리고 그림 8에서 mono silicide로 안정적임을 알 수 있으며 B_{11} 은 Ni가 이미 확산해 들어가서 Silicide layer가 silicon rich로 되어가고 있음을 알 수 있다. 이런 현상은 silicon과 반응은 하지 않아 disilicide peak는 관찰되지 않지만 Silicide의 면적을 증가시키고 있다.

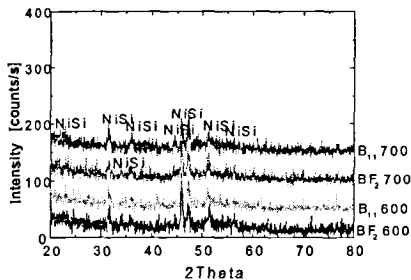


그림 7. 600, 700도 30분간 annealing 후 XRD 분석

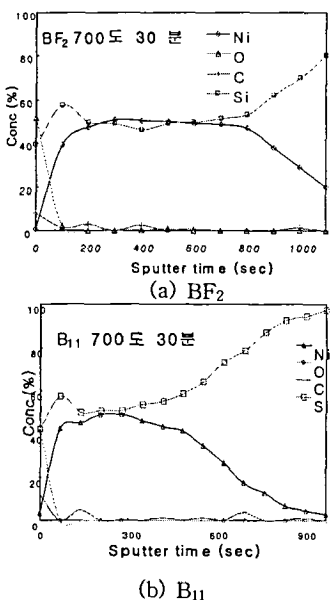


그림 8. 700도 30분간 annealing 후 Silicide의 XPS 성분 분석

3. 결 론

RTP 후 dopant에 따른 면적을 살펴보면 BF_2 경우가 B_{11} 보다 높았으며 Silicide의 형태는 dopant에 관계없이 Silicide/silicon 계면상태가 모두 uniform

하였다. 하지만 두께에 있어서는 BF_2 가 있는 sample이 B_{11} 보다 얕게 형성되었다. 열안정성 면에서 보면 BF_2 가 주입된 active가 700도 30분까지는 면적과 계면상태 모두 안정적으로 나왔으며 Fluorine의 Silicidation 역할은 열안정성 면에서 매우 효과적이다. 따라서 PMOS 소자의 Source/Drain에서는 B_{11} 보다 BF_2 를 사용하는 것이 더 바람직하다고 여겨진다. 그러나 Source/Drain 및 Poly를 동시에 doping하기 위해서는 B_{11} 이 더 바람직하므로 이 경우에는 fluorine을 Silicide 공정 전에 주입하여 Ni-silicide의 특성을 개선시키는 것을 생각해 볼 수 있다.

Acknowledgments

- 이 연구는 BK21충남대학교 정보통신인력양성사업단의 지원을 받았음.

참고 문헌

- [1] J. D. Lee, B. C. Shim, and B. G. Park, "Silicide Application on Gate Single-Crystal, Polycrystalline and Amorphous Silicon FEAs Part 2 : Co Silicide", IEEE Trans. on Electron Dev., Vol. 48, No. 1, Jan. 2001.
- [2] T. Ohguro, S. Ichi, "Analysis of Resistance Behavior in Ti and Ni-Salicided polysilicon Films", IEEE on Electron Dev., Vol. 41, No. 12 Dec. 1994.
- [3] A. Lauwers, "Material aspects, electrical performance, and scalability of Ni silicide towards sub-0.13μm technologies", J. Vac. Sci. Technol. B19(6), Nov/Dec 2001
- [4] S. L. Zhang, U. Smith, R. Buchta, M. Osting, "An experimental study of the influence of oxygen on silicide formation with tungsten deposited from tungsten hexafluoride", J. Appl. Phys., 1 Jan. 1991.
- [5] C. J. Choi, Y. W. Ok, T. Y. Seong, H. D. Lee, "Effects of SiO₂ Capping Layer on the Electrical Properties and Morphology of Nickel silicide", Jpn. J. Appl. Phys. Vol. 41, 2002.
- [6] K. Goto, "A Comparative Study of Leakage Mechanism of Co and Ni-Salicide", Processes, 1998 IEEE, 36th Reliability Phys. Sym., 1998.